

УДК 581.162.3:551.510.42

Пыльцевые частицы анемофильных растений, поступающие в атмосферу. Кластерный состав

В.В. Головко¹, Г.А. Зуева², Т.И. Киселева^{2*}

¹Институт химической кинетики горения им. В.В. Воеводского СО РАН
630090, г. Новосибирск, ул. Институтская, 3

²Центральный сибирский ботанический сад СО РАН
630090, г. Новосибирск, ул. Золотодолинская, 101

Поступила в редакцию 25.03.2021 г.

Приведены результаты исследования эмиссии пыльцы 32 анемофильных видов растений в атмосферу. Оценена доля кластеров из двух или более пыльцевых зерен от суммарного числа пыльцевых частиц, поступающих в атмосферу. Показано, что, несмотря на наличие у анемофильных растений морфологических особенностей, препятствующих образованию кластеров, подобные кластеры в значительных количествах образовывались во всех сериях опытов. Доля пыльцевых кластеров варьировалась от 6,8 до 66,1% от общего числа пыльцевых частиц; доля пыльцевых зерен в составе кластеров варьировалась от 15,3 до 94,8%.

Ключевые слова: пыльца, анемофильные растения, атмосферный аэрозоль, кластеры; pollen, anemophilous plants, atmospheric aerosol, clusters.

Введение

Перенос в атмосфере пыльцы ветроопыляемых семенных растений – необходимое условие их семенного размножения, генетического обмена между отдельными особями и удаленными популяциями. Анемофilia свойственна голосеменным и представителям 60 семейств покрытосеменных растений (~ 16% семейств отдела [1]). Уступая насекомоопыляемым растениям по числу видов (в Новосибирской области – 29,5% [2]), анемофильные растения доминируют по числу особей в растительном покрове внутропических областей (53% поверхности суши без Антарктиды), будучи основными продуcentами биомассы.

Анемофильным растениям присуща высокая пыльцевая продуктивность. Например, в новозеландских лесах продуктивность сосны лучистой достигает 1–3 т пыльцы на гектар [3]. Огромное количество пыльцевых зерен (ПЗ), поступающих в атмосферу, превращает пыльцу в одну из наиболее массовых и повсеместно распространенных компонент грубодисперсной фракции ($d > 1 \text{ мкм}$) биоаэрозоля [4]. В период цветения бересклета повислой вклад ее пыльцы в суммарную массовую концентрацию атмосферного аэрозоля (АА) составляет в среднем 16,4%, достигая в отдельных пробах 57–66% [5]. Пыльца анемофильных растений играет важную роль в переносе химических элементов в биоценозах [6], влияет

на оптические свойства атмосферы [7], а также вызывает аллергические заболевания у 30% населения [8, 9].

Для прогнозирования содержания пыльцы в атмосфере созданы сети мониторинга пыльцевой компоненты АА. На 2016 г. в мире было 879 действующих станций отбора проб пыльцевого аэрозоля, из них 9 – в Африке, 151 – в Америке, 182 – в Азии (143 – в Японии), 525 – в Европе и 12 – в Океании [8] (<https://www.z Baum-online.de/pollen-map.html>). В Российской Федерации находится 9 станций (в Москве, Санкт-Петербурге, Екатеринбурге, Краснодаре, Перми, Ростове-на-Дону, Рязани, Ставрополе, Тюмени) (<https://allergotop.com>).

На 70% станций отбор пыльцы производится по методике Хирста (ловушки Хирста, Бурхарда, Ланзона). На оставшихся 30% используются автоматические отбирающие устройства и ротороды. Крупные размеры ПЗ анемофильных растений (средний диаметр 20–40 мкм) и сложная морфология пыльцевых частиц (ПЧ) [10, 11] – причины существенных трудностей при отборе проб АА. Отбор используемыми устройствами не изокинетический [12, 13], при нем разрушаются кластеры [14], способность пробоотборников разделять частицы по размерам недостаточна [8]. При этом даже в ряде областей Европы пунктов наблюдения мало, что делает сомнительным качество прогнозов переноса пыльцы [8].

В Российской Федерации большая площадь страны и малая плотность населения ставят под сомнение возможность развертывания достаточного количества станций пыльцевого мониторинга АА. Более перспективным представляется построение моделей пыльцевого переноса на основе учета пыльцевой продуктивности растений и физических процессов

* Владимир Викторович Головко (golovko@kinetics.nsc.ru); Галина Александровна Зуева (zuevagalina70@yandex.ru); Татьяна Ивановна Киселева (tk552008@yandex.ru).

рассеивания, атмосферного переноса и осаждения ПЧ. Дальность переноса ПЧ в атмосфере определяется высотой источника, скоростью ветра, турбулентностью, вертикальным коэффициентом диффузии и скоростью их оседания. Последняя зависит от размеров и плотности ПЗ и кластерного состава ПЧ, поступающих в атмосферу.

В настоящей работе исследуется эмиссия в атмосферу пыльцы 32 видов анемофильных растений, представленных в экспозиции ЦСБС СО РАН.

Материалы и методы

Пыльца сдувалась ветром с соцветий на предметные стекла, покрытые глицерин-желатином с добавлением красителя кумами голубого (рис. 1). Расстояние до подложек составляло 20–25 см, что позволяло избежать контакта с соцветиями. Отбор проб пыльцы каждого вида проводился пятикратно с короткими интервалами.

Время экспозиции — несколько секунд. Одновременно с помощью прибора Center 311 измерялись температура и относительная влажность воздуха. Подсчет ПЧ (одиночных ПЗ и их кластеров) проводился на 10 трансектах при 10–40-кратном увеличении объектива микроскопа (рис. 2).

У ПЗ ветроопыляемых растений есть ряд особенностей, препятствующих их слипанию и образованию кластеров. Можно предположить, что в ходе эмиссии в атмосферу из пыльников поступают одиночные ПЗ, а кластеры образуются на предметном стекле.

При оценке количества кластеров из не менее чем двух ПЗ, которое могло образоваться на подложке, сделаны следующие допущения: 1) оседание ПЗ на подложку не зависит от оседания других ПЗ; 2) в кластере ПЗ располагаются в один слой. С ростом числа ПЗ в кластерах их количество уменьшается. Если математическое ожидание числа кластеров из N ПЗ меньше единицы, то частицы из не менее чем N ПЗ на препарате при заданном числе ПЗ на единицу площади не образуются.

Кластер образуется, если расстояние между геометрическими центрами ПЗ не превышает два радиуса. Математическое ожидание числа кластеров из не менее чем двух ПЗ можно представить соотношением

$$N_{\geq 2} = 4pN_{\geq 1}, \quad (1)$$

где $N_{\geq 1}$ — число ПЗ в кластерах из не менее чем одного ПЗ (фактически — общее количество ПЗ, осевших на подложке);

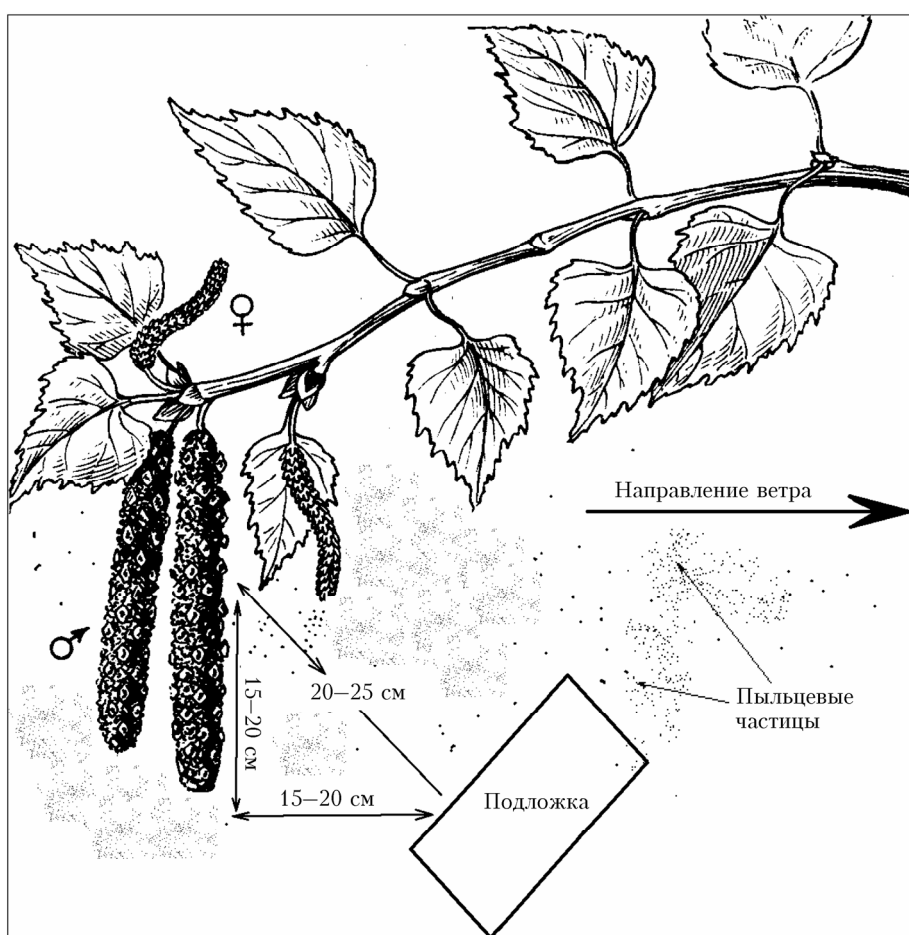


Рис. 1. Схема улавливания пыльцы растений в момент ее высыпания из пыльника (на примере сережек березы желтой)

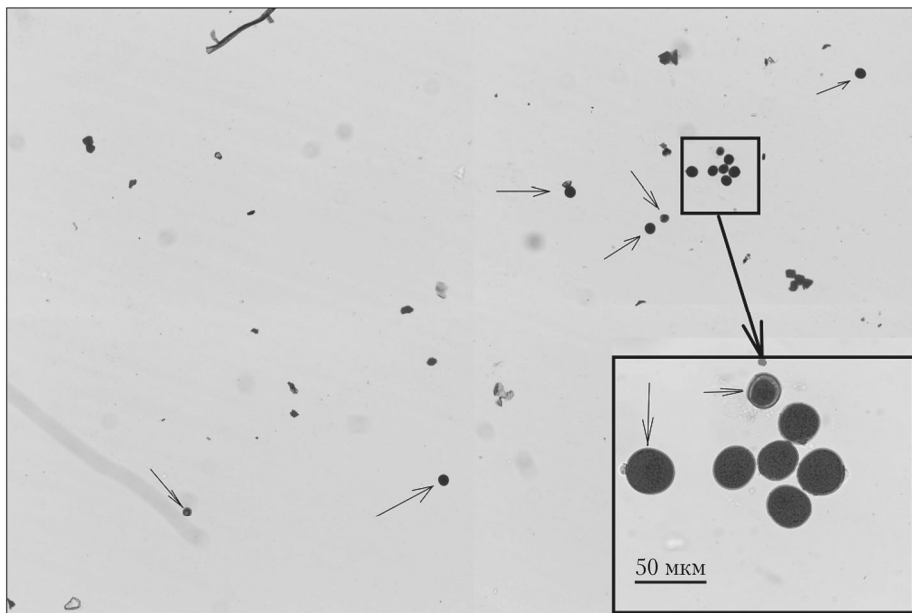


Рис. 2. Осадок ПЧ мяты альпийской на подложке (при $\times 10$ увеличении объектива). Отдельные ПЗ и кластер из двух ПЗ указаны стрелками. Обведен и показан при $\times 40$ увеличении объектива кластер из пяти пыльцевых зерен мяты альпийской

$$p = S_{pg} N_{\geq 1} / S_T \quad (2)$$

— доля поверхности, которую занимают ПЗ, S_{pg} — среднее значение площади проекции ПЗ, S_T — площадь просмотренных препаратов.

В центре коллективного пользования микроскопического анализа биологических объектов СО РАН при ИЦиГ СО РАН были сделаны снимки ~ 200 ПЗ всех исследуемых видов растений. Площади проекций ПЗ нашли путем обработки их снимков программой MapInfo Professional.

Математическое ожидание числа кластеров из двух ПЗ можно оценить соотношением

$$N_2 = N_{\geq 2} - N_{\geq 3}, \quad (3)$$

где

$$N_{\geq 3} = 7pN_{\geq 2} \quad (4)$$

— математическое ожидание числа кластеров из не менее чем трех ПЗ.

Математические ожидания числа кластеров $N_{\geq j}$ и N_j из не менее чем j ПЗ можно представить соотношениями

$$N_{\geq j} = (3(j-1) + 4)pN_{\geq(j-1)}; \quad (5)$$

$$N_j = N_{\geq j} - N_{\geq j+1}. \quad (6)$$

Математическое ожидание количества одиночных ПЗ

$$N_1 = N_{\geq 1} - 2N_2 - 3N_3 - \dots - jN_j. \quad (7)$$

При оседании пыльцы на подложке оказывается либо одиночное ПЗ, либо ПЗ в составе кластера. Таким образом, задача сводится к сравнению долей одиночных ПЗ от общего числа осевших на подлож-

ки ПЗ, т.е. к оценке достоверности различия двух выборок по частоте встречаемости данного показателя, характеризующегося альтернативным распределением. С этой целью использовался критерий Фишера с ϕ -преобразованием (угловое преобразование Фишера), предназначенный для сопоставления двух выборок по частоте встречаемости интересующего исследователя показателя:

$$F = \frac{(\varphi_1 - \varphi_2)^2 \cdot N_{a \geq 1} \cdot N_{b \geq 1}}{N_{a \geq 1} \cdot N_{b \geq 1}} \sim F_{(a, df_1, df_2)}, \quad (8)$$

где φ_1 и φ_2 — преобразованные доли; $N_{a \geq 1}$, $N_{b \geq 1}$ — объемы выборок (в данном случае — суммарные количества ПЗ на подложках). Полученное значение сравнивалось с табличным при заданном уровне значимости (α) и числом степеней свободы $df_1 = 1$; $df_2 = N_{a \geq 1} + N_{b \geq 1} - 2$.

Когда объемы выборок исчисляются сотнями и тысячами, значение $F = 3,8$ при $\alpha = 0,05$; $6,6$ при $\alpha = 0,01$; $10,8$ при $\alpha = 0,001$. Если вычисленные значения F превышают указанные величины, то нулевую гипотезу при заданном уровне значимости следует отбросить [15].

Результаты

Исследован кластерный состав поступающей в атмосферу пыльцы 14 видов древесных растений, 11 видов злаков и 7 видов прочих травянистых растений — разнотравья.

Кластеры из не менее чем двух ПЗ отмечены в отобранных пыльцевых пробах всех анемофильтных растений (табл. 1–3). У древесных растений (табл. 1) доля кластеров из двух и более ПЗ от общего количества ПЧ, осевших на подложки, варьировалась

Таблица 1

Наличие кластеров в пыльце древесных растений, поступающей в атмосферу

№	Видовое название	Дата наблюдения (2018 г.)	<i>t</i> , °C	RH, %	Число		Доля кластеров из не менее чем двух ПЗ, %	Доля ПЗ в кластерах из не менее чем двух ПЗ, %
					ПЧ	ПЗ		
1	Береза растопыренная	01.05	14,0	57,0	774	2025	39,3	76,8
2	Береза пушистая	01.05	14,4	56,7	4032	5621	19,6	42,4
3	Береза даурская	29.05	14,7	53,8	2837	4928	34,7	62,4
4	Береза желтая	30.05	14,9°	55,6	492	883	25,8	58,7
5	Береза кустарниковая	30.05	16,7	49,6	977	1284	19,3	38,6
6	Вяз низкий	06.05	26,6	21,1	7434	13394	29,2	60,7
7	Вяз японский	06.05	26,3	22,3	1836	2897	30,1	55,7
8	Ива остролистная	11.05	15,0	28,5	1829	6617	62,7	89,7
9	Ива пепельная	18.05	16,0	34,0	1232	6289	58,6	91,9
10	Ива пурпурная	16.05	16,2	31,0	694	4553	66,1	94,8
11	Ива розмаринолистная	18.05	17,0	37,0	645	2225	55,3	87,1
12	Лещина американская	01.05	9,0	46,0	1809	3110	34,0	61,6
13	Лещина обыкновенная	01.05	11,2	86,8	593	779	15,2	35,4
14	Ольха черная	26.04	13,9	38,2	2170	2388	6,8	15,3

Таблица 2

Наличие кластеров в пыльце злаков, поступающей в атмосферу

№	Видовое название	Дата наблюдения (2018 г.)	<i>t</i> , °C	RH, %	Число		Доля кластеров из не менее чем двух ПЗ, %	Доля ПЗ в кластерах из не менее чем двух ПЗ, %
					ПЧ	ПЗ		
1	Ковыль перистый	26.04	25,6	73,5	505	607	14,1	28,5
2	Мятлик альпийский	09.06	23,5	71,2	838	1489	32,3	61,9
3	Мятлик лесной	26.06	26,6	64,7	1635	2035	14,5	31,3
4	Овес посевной	26.06	24,8	77,6	1029	1321	12,9	32,2
5	Прямо прутьевидное	20.07	26,2	75,8	75,8	924	11,6	27,3
6	Райграс бульбоносный	26.06	26,1	74,0	836	1031	11,5	28,2
7	Райграс пастибищный	20.07	24,4	77,5	598	798	18,4	38,8
8	Трясунка большая	26.07	23,8	66,6	349	475	18,9	40,4
9	Чий блестящий	09.08	36,6	40,2	552	711	16,5	35,2
10	Щетинник пурпурный	09.08	32,5	41,3	2039	2601	15,2	33,5
11	Щучка дернистая	18.07	25,7	60,0	428	565	21,0	40,2

Таблица 3

Наличие кластеров в пыльце разнотравья, поступающей в атмосферу

№	Видовое название	Дата наблюдения (2018 г.)	<i>t</i> , °C	RH, %	Число		Доля кластеров из не менее чем двух ПЗ, %	Доля ПЗ в кластерах из не менее чем двух ПЗ, %
					ПЧ	ПЗ		
1	Крапива жгучая	24.06	23,1	60,3	1029	2165	38,7	70,9
2	Осока алтайская	09.06	24,2	65,7	467	1626	67,9	90,8
3	Осока бледноватая	09.06	24,2	65,7	2204	3682	32,4	59,6
4	Осока повислая	09.06	24,4	67,0	398	849	37,9	70,9
5	Осока пузырчатая	09.06	24,4	66,4	760	1149	28,6	52,7
6	Осока светлая	09.06	25,5	63,4	426	748	35,7	63,4
7	Подорожник ланцетолистный	26.07	24,3	70,0	1105	1756	25,2	53,0

от 6,8 (ольха черная) до 66,1% (ива пурпурная). В состав кластеров входило 15,3–94,8% от общего числа ПЗ, осевших на подложки. Столь широкий диапазон варьирования, видимо, обусловлен различиями морфологии пыльцевых оболочек у видов различных семейств и разными фазами цветения.

У злаков (табл. 2) доля кластеров от общего количества ПЧ варьировалась от 11,5 (райграс бульбоносный) до 32,3% (мятлик альпийский). В их состав входило от 27,3 (прямо прутьевидное) до 61,9% от общего числа осевших на подложки ПЗ. Морфология пыльцевых оболочек злаков монотипная, и различия, видимо, обусловлены разными фазами цветения.

У прочих травянистых растений – разнотравья (табл. 3) – доля кластеров от общего количества ПЧ варьировалась от 25,2 (подорожник ланцетолистный) до 67,9% (осока алтайская). В их состав входило от 52,7 (осока пузырчатая) до 90,8% от общего числа осевших на подложки ПЗ. Варьирование, видимо, обусловлено различиями морфологии пыльцевых оболочек у видов различных семейств и разными фазами цветения.

В табл. 4–6 приводятся: 1) общее количество пыльцевых зерен, осевших на подложки ($N_{\geq 1}$); 2) доля поверхности препаратов, которую занимают зерна пыльцы (p , %); 3) реально наблюдавшееся количество кластеров из j ПЗ на подложках (n_j)

и его математическое ожидание (N_j); 4) вычисленные значения критерия Фишера (F) при сравнении долей одиночных ПЗ.

Суммарная площадь проекции осевших на подложки ПЗ у древесных растений (табл. 4) варьировалась от 0,03 до 3,46% от просмотренной поверхности

Таблица 4

Количество и математические ожидания кластеров из j ПЗ древесных растений

Видовое название	$N_{\geq 1}$	$p, \%$	Пара- метр	j										F	
				1	2	3	4	5	6	7	8	9	≥ 10		
Береза растопыренная	2025	0,08	n_j	2013	6										63,1
			N_j	470	76	63	40	36	18	9	9	9	33	11	
Береза пушистая	5621	0,79	n_j	5253	169	9	1								47,7
			N_j	3240	483	155	58	23	14	13	14	4	28		
Береза желтая	883	0,03	n_j	881	1										34,7
			N_j	365	58	18	11	5	11	8	6	1	8	1	
Береза кустарниковая	1284	0,08	n_j	1276	4										30,0
			N_j	788	141	23	12	7	1	1	0	1	2	1	
Береза даурская	4928	0,88	n_j	4567	164	10	1								63,2
			N_j	1853	528	212	102	55	29	16	13	10	16	3	
Вяз низкий	13394	3,46	n_j	9203	1405	294	86	31							49,0
			N_j	5266	1045	417	258	138	66	54	29	21	93	47	
Вяз Японский	2897	0,23	n_j	2845	26										53,8
			N_j	1284	340	96	54	26	15	7	5	0	6	3	
Ива остролистная	6617	0,57	n_j	6307	146	6									118,0
			N_j	682	332	196	129	185	54	40	32	18	100	61	
Ива пепельная	6289	0,58	n_j	5995	139	5									119,3
			N_j	510	194	111	68	67	41	27	30	24	92	52	
Ива пурпурная	4553	0,27	n_j	4454	48	1									113,9
			N_j	235	116	60	34	28	23	27	16	15	72	56	
Ива розмаринолистная	2225	0,22	n_j	2187	19										71,4
			N_j	288	113	59	31	27	27	15	15	12	38	20	
Лещина американская	3110	0,11	n_j	3082	14										80,1
			N_j	1194	318	144	64	33	23	7	8	4	14		
Лещина обыкновенная	779	0,06	n_j	775	2										22,3
			N_j	503	49	18	10	4	2	4	3				
Ольха черная	2388	0,39	n_j	2312	37	1								1	15,4
			N_j	2022	115	20	7	3	1	1					

Таблица 5

Количество и математические ожидания кластеров из j ПЗ злаков

Видовое название	$N_{\geq 1}$	$p, \%$	Пара- метр	j										F	
				1	2	3	4	5	6	7	8	9	≥ 10		
Ковыль перистый	607	0,08	n_j	603	2										16,8
			N_j	434	47	18	5	1							
Мятлик альпийский	1489	0,07	n_j	1481	4										45,2
			N_j	567	141	48	32	20	7	7	6	1	6	3	
Мятлик лесной	2035	0,18	n_j	2005	15										30,1
			N_j	1398	134	71	14	11	5	1	1				
Овес посевной	1321	0,40	n_j	1278	20	1									21,7
			N_j	896	83	23	5	3	3	4	4	3	5		
Просо прутьевидное	924	0,34	n_j	898	13										16,4
			N_j	672	57	13	5	4	6	2		1			
Райграс бульбоносный	1031	0,14	n_j	1019	6										20,6
			N_j	740	57	16	9	4	4	2	2	1	1		
Райграс пастбищный	798	0,07	n_j	794	2										23,9
			N_j	488	80	12	5	3	3	2	1	1			
Трясунка большая	475	0,03	n_j	473	1									7	19,6
			N_j	283	55	4									
Чий блестящий	711	0,05	n_j	709	1										21,6
			N_j	461	58	15	7	5	6						
Щетинник пурпурный	2601	0,26	n_j	2549	26									15	34,1
			N_j	1729	208	56	17	14							
Щучка дернистая	565	0,03	n_j	564	1									1	21,5
			N_j	338	64	16	7	1							

Таблица 6

Количество и математические ожидания кластеров из j ПЗ разнотравья

Видовое название	$N_{\geq 1}$	$p, \%$	Пара- метр	j												F
				1	2	3	4	5	6	7	8	9	≥ 10	≥ 20	≥ 100	
Крапива жгучая	2165	0,08	n_j	2151	7											60,5
			N_j	631	175	77	55	22	9	4	10	9	36	1		
Осока алтайская	1626	0,20	n_j	1600	13											64,8
			N_j	150	90	61	45	31	23	11	15	7	30	4		
Осока бледноватая	3682	1,07	n_j	3354	146	11	1									49,6
			N_j	1489	390	144	85	42	17	13	4	4	15	1		
Осока повислая	849	0,07	n_j	845	2											38,1
			N_j	247	70	40	10	5	3	3	1	0	15	4		
Осока пузырчатая	1149	0,08	n_j	1141	4											35,1
			N_j	543	127	51	15	16	2	2	3	1				
Осока светлая	748	0,05	n_j	744	2											33,0
			N_j	274	69	38	19	15	7	3	1					
Подорожник ланцетолистный	1756	0,31	n_j	1714	21											38,9
			N_j	826	141	63	27	11	12	6	6	6	6	1		

препаратах. Кластерные составы пыльцевых осадков на подложки резко отличались от тех, которые возникли бы при формировании кластеров на предметных стеклах при оседании на них одиночных ПЗ. Значения F_ϕ варьировались от 15,4 до 113,9, что значительно выше его значения при $\alpha = 0,001$.

Площадь проекции осевших ПЗ у злаков (табл. 5) варьировалась от 0,03 до 0,4% от просмотренной поверхности препаратов. Значения F_ϕ варьировались от 16,4 до 45,2, что значительно выше его значения при $\alpha = 0,001$.

Площадь проекции осевших ПЗ разнотравья (табл. 6) варьировалась от 0,05 до 1,07% от просмотренной поверхности препаратов. Значения F_ϕ варьировались от 33 до 64,8, что значительно выше его значения при $\alpha = 0,001$.

Исходя из вышеизложенного, следует отвергнуть исходную гипотезу о формировании пыльцевых кластеров непосредственно на подложке у исследованных 14 видов древесных растений, 11 видов злаков и 7 видов разнотравья. Формирование кластеров у них происходит непосредственно в пыльниках в процессе поступления пыльцы в атмосферу.

Заключение

Исследован кластерный состав поступающей в атмосферу пыльцы ~1/12 от общего числа (417) анемофильных видов растений Новосибирской области. Поступающая в атмосферу пыльца ветроопыляемых растений не монодисперсна. Помимо одиночных ПЗ, в атмосферу поступают кластеры, содержащие два и более ПЗ. Процентная доля таких кластеров от общего количества образовавшихся ПЧ варьируется в широких пределах и может сильно различаться у разных видов растений. Подобное варьирование, вероятно, обусловлено различиями в морфологии оболочек ПЗ и разными фазами цветения анемофильных растений.

Морфологические особенности строения пыльцевых зерен анемофильных растений не предотвращают образование кластеров при эмиссии пыльцы в атмосферу.

Поступающая в атмосферу пыльца ветроопыляемых растений не монодисперсна, а представлена как одиночными ПЗ, так и их кластерами из двух или более ПЗ.

Доля кластеров от общего количества образовавшихся частиц и процентная доля ПЗ в их составе варьируются в широких пределах.

- Ackerman J.D. Abiotic pollen and pollination: Ecological, functional, and evolutionary perspectives // Plant Syst. Evol. 2000. V. 222. P. 167–185.
- Определитель растений Новосибирской области / И.М. Красноборов, М.Н. Ломоносова, Д.Н. Шауло [и др.]. Новосибирск: Наука, Сибирское предприятие РАН, 2000. 492 с.
- Erdtman G. Handbook of Palynology. Munksgaard, 1969. 487 p.
- Despre V.R., Huffman A.J., Burrows S.M., Hoose C., Safatov A.S., Buryak G., Fröhlich-Nowoisky J., Elbert W., Andreea M.O., Pösch U., Jaenicke R. Primary biological aerosol particles in the atmosphere: A review // Tellus B. 2012. V. 64. P. 1–58.
- Головко В.В., Куценогий К.П., Истомин В.Л. Счетные и массовые концентрации пыльцевой компоненты атмосферного аэрозоля в окрестностях г. Новосибирска в период цветения древесных растений // Оптика атмосф. и океана, 2015. Т. 28, № 6. С. 529–533.
- Greenfield L.G. Weight loss and release of mineral nitrogen from decomposing pollen // Soil Biol. Biochem. 1999. V. 31, N 3. P. 351–353.
- Bohlmann S., Shang X., Giannakaki E., Filioglou M., Romakkaniemi S., Komppula M., Saarto A. Detection and characterization of birch pollen in the atmosphere using a multiwavelength Raman polarization lidar and Hirst-type pollen sampler in Finland // Atmos. Chem. Phys. 2019. V. 19, N 23. P. 14559–14569.
- Buters J.T.M., Antunes C., Galveias A., Bergmann K.C., Thibaudon M., Galán C., Schmidt-Weber C., Oteros J. Pollen and spore monitoring in the world // Clin. Transl. Allergy. 2018. V. 8. P. 9. DOI: 10.1186/s13601-018-0197-8.
- Beggs P.J. Allergen aerosol from pollen-nucleated precipitation: A novel thunderstorm asthma trigger // Atmos. Environ. 2017. V. 152. P. 455–457.
- Куприянова Л.А., Алешина Л.А. Пыльца и споры двудольных растений флоры европейской части СССР. Л.: Наука, 1978. Т. 1. 174 с.
- Crook B. Inertial Samplers: Biological Perspectives // Bioaerosols Handbook / C.S. Cox, C.M. Wathes (eds.).

- Boca Raton, Florida: Lewis Publishers Inc, 1995. P. 247–267.
12. Crook B. Non-Inertial Samplers: Biological Perspectives // Bioaerosols Handbook / C.S. Cox, C.M. Wathes (eds.). Boca Raton, Florida: Lewis Publishers Inc, 1995. P. 269–283.
13. Фукс Н.А. Механика аэрозолей. М.: Изд-во АН СССР, 1955. 352 с.
14. Головко В.В., Беланова А.П., Зуева Г.А. Исследование кластерного состава пыльцевых частиц, поступающих в атмосферу во время цветения анемофильных растений // Оптика атмосф. и океана. 2019. Т. 32, № 6. С. 476–481. DOI: 10.15372/AOO20190610.
15. Ивантер Э.В., Коросов А.В. Элементарная биометрия. Петрозаводск: Изд-во ПетрГУ, 2010. 104 с.

V.V. Golovko, G.A. Zueva, T.I. Kiseleva. Pollen grains of anemophilic plants entering the atmosphere. Cluster composition.

The results of the study of pollen of 32 anemophilic plant species into the atmosphere are given. The proportion of clusters of two or more pollen grains in the total number of pollen particles entering the atmosphere is estimated. It is shown that despite the presence of morphological features in anemophilic plants that prevent the formation of clusters, similar clusters were formed in significant quantities in all series of experiments. The percentage of pollen clusters ranged from 6.8 to 66.1% of the total number of pollen particles; the percentage of pollen grains in the composition of the clusters varied from 15.3 to 94.8%.